



١٠٢٥%



وزارت علوم ، تحقیقات و فناوری

دانشگاه شهید بهشتی

دانشکده علوم زمین

گروه آموزشی زمین شناسی

پایان نامه جهت اخذ درجه کارشناسی ارشد

رشته زمین شناسی / گرایش آب شناسی (هیدرولوژی)

عنوان

هیدرولوژی و رفتار هیدرولوژی مکانیکی پی سد سیمراه

استاد راهنمای

دکتر رادین اسپندار

اساتید مشاور

دکتر حمیدرضا ناصری

مهندس مهرداد سیاری نژاد

نگارنده

مهدی ایل بیگی قلعه‌نی

نیمسال اول سال تحصیلی ۸۶-۸۷

۱۰۲۰۳۰

بسمه تعالیٰ
وزارت علوم ، تحقیقات و فناوری
دانشگاه شهید بهشتی
دانشکده علوم زمین
گروه زمین شناسی
تأثیردهی دفاع از پایان نامه
کارشناسی ارشد

این پایان نامه توسط آقای مهدی ایل بیگی قلعمنی دانشجوی دوره کارشناسی ارشد ناپیوسته رشته زمین شناسی گرایش آب شناسی در تاریخ ۱۳۸۶/۸/۲۳ مورد دفاع قرار گرفت و براساس رأی هیأت داوران با نمره ۱۸/۴۰ (هیجده و چهل صدم) و درجه عالی پذیرفته شد.

استاد راهنمای: آقای دکتر رادین اسپندار

استاد مشاور: آقای دکتر حمیدرضا ناصری

استاد مشاور: آقای مهندس مهرداد همیلری نژاد

استاد داور: آقای دکتر سید احمد علوی

استاد داور: آقای دکتر منصور قربانی

تقدیم به

آنانکه

به من آموختند

تقدیر و تشکر

حمد و سپاس پروردگار متعال را که بر این بنده حقیر منت نهاد که در اجرای بخشی از فرامین خود، مبنی بر فراغیری علم یاری رساند. حال که با استعانت آن یگانه معبود هستی موفق به طی دروه کارشناسی ارشد شده‌ام، عاجزانه از او می‌خواهم که لحظه لحظه زندگی‌ام را با هدف قرب به درگاهش تأم فرماید.

طی اجرای این پایان نامه افراد بسیاری اینجانب را یاری نمودند که ذکر نام تمامی آنها مقدور نیست، امیدوارم آنان که نامشان در این بخش آورده نشده گمان نکنند که قدر یاری هایشان شناخته نیست.

از استاد راهنمای محترم جناب آقای دکتر رادین اسپندرار که با دقت و حوصله فراوان، در طول انجام پایان نامه، راهنماییهای لازم را فرموده‌اند و از اساتید مشاور جناب آقای دکتر حمیدرضا ناصری و جناب آقای مهندس مهرداد سیاری نژاد که از رهنمودهای لازم دریغ نفرمودند، کمال تشکر و سپاسگزاری را دارم.

همچنین از زحمات گرانقدر جناب آقای دکتر رضا حقیقت که در دوران کارشناسی ارشد افتخار شاگردی ایشان را داشته‌ام، کمال تشکر را دارم.

در تمامی مراحل اجرای پایان نامه، شرکت‌های پیمانکاری پرلیت، مهندسین مشاور مهاب قدس و توسعه منابع آب و نیروی انسانی امکانات لازم برای انجام مطالعات را در اختیار اینجانب قرار دادند که بدینوسیله از مهندسان این شرکت آقایان: لطف آذر، بهزادی، ساعت ساز، آکنده، موسوی، فرشیدفر، باهوش، کمالی و خانی تشکر و قدردانی می‌کنم.

از دوستان بسیار عزیزم آقایان یعقوب نیک قوچق، حسین عابدیان، مسعود مرسلی، هادی حیدری، میثم حبیبی، مجید قربانی، مهدی مفید، روزبه یزدانفر و رحیم باقری که همواره کمک و راهنمای من بودند کمال تشکر را دارم.

در پایان کمال تشکر خود را از خانواده محترم و بویژه پدر و مادرم به خاطر کمک و پشتیبانی‌های بی شائبه‌شان، دارم.

مهدی ایل‌بیگی

آذر

اقرار و تعهدنامه

اینجا حب مهدی ایل بیگی دانشجوی مقطع کارشناسی
ارشد دانشگاه شهید بهشتی، دانشکده علوم زمین،
رشته زمین شناسی، گرایش آب شناسی پایان نامه
حاضر را بر اساس مطالعات و تحقیقات شخصی خود
انجام داده و در صورت استفاده از داده‌ها، مأخذ،
منابع و نقشه‌ها به طور کامل به آن ارجاع داده‌ام،
ضمناً داده‌ها و نقشه‌های موجود را با توجه به
مطالعات میدانی - صحرائی خود تدوین نموده‌ام.
این پایان نامه پیش از این به هیچ‌وجه در مرجع
رسمی یا غیر رسمی دیگری به عنوان گزارش یا طرح
تحقیقاتی عرضه نشده است. در صورتی که خلاف آن
ثابت شود، درجه‌ی دریافتی اینجاست از اعتبار ساقط
شده، عواقب و نتایج حقوقی حاصله را می‌پذیرم.

۱۳۸۶/۹/۱۱

امضاء

چکیده

سد سیمراه در حوضه آبریز کرخه، بر روی رودخانه سیمراه و در حدود ۴۰ کیلومتری شمال غربی شهرستان درم شهر از توابع استان ایلام و در محدوده زاگرس چین خورده در دست احداث است. این سد از نوع بتنی دو قوسی نازک به ارتفاع ۱۸۰ متر (از سنگ پی) می‌باشد و پس از احداث، دریاچه بزرگی به حجم تقریبی ۳/۲ میلیارد متر مکعب ایجاد خواهد کرد.

در این پایان‌نامه، ساختگاه سد از نظر زمین‌شناسی، هیدروژئوشیمی و ژئوتکنیکی مورد بررسی قرار گرفته است. از نظر زمین‌شناسی، ساختگاه سد عمدتاً از سنگهای آهکی و آهک دولومیتی سازند آسماری تشکیل شده است. این سازند در محدوده ساختگاه سد متوسط تا ضخیم لایه می‌باشد. در محدوده مخزن سد و ترازهای بالای جناحین سد سازند گچساران رخمنون دارد. تقریباً تمامی گسل‌هایی که در محدوده ساختگاه رخمنون دارند از نوع امتدادی و نرمال هستند.

در بررسی‌های هیدروژئولوژی محدوده مورد مطالعه، اندازه‌گیری دوره‌ای سطح ایستابی و همچنین دمای آب گمانه‌های پیزومتری محدوده ساختگاه در دستور کار قرار گرفته است. ارزیابی عمق و دمای آب این پیزومترها نشان می‌دهد که نوسانات تراز سطح آب و همچنین دمای آب در محدوده سد، در طی دو دوره خشک و مرطوب چندان زیاد نیست که احتمالاً نشان دهنده عدم توسعه فرآیندهای کارستی پیشرفتی در محدوده‌ای که پیزومترها حفاری شده‌اند، می‌باشد. همچنین به منظور بررسی‌های هیدروژئوشیمی، دو نوبت نمونه‌برداری از منابع آبی محدوده ساختگاه به عمل آمده است. بر اساس نتایج آنالیز شیمیایی ۹ نمونه آب، غالب‌ترین تیپ‌های آب زیرزمینی، کلرورو سدیک و سولفات‌کلسیک می‌باشد.

یکی از مهمترین پارامترها در طراحی سازه‌های آبی بزرگ (به ویژه سدها)، نفوذپذیری ساختگاه آنهاست. مرسوم‌ترین روش برای تعیین ضریب نفوذپذیری سنگ‌ها، استفاده از آزمایش فشار آب (لوزن) می‌باشد. در این پایان‌نامه، نفوذپذیری و رفتار هیدروژئومکانیکی توده سنگ قسمت‌های مختلف ساختگاه با استفاده از نتایج آزمایشات لوزن، تعیین و در نهایت این قسمت‌ها از نظر پتانسیل آبگذری و نوع رفتار هیدروژئومکانیکی با هم مقایسه شده‌اند. همچنین با توجه به نتایج تست توموگرافی لرزاها و نقشه‌های حین ساخت تزريق، ترازهایی که مقادیر بالای نفوذپذیری از خود نشان می‌دهند تعیین شدند. بر اساس نتایج بدست آمده، در کل ساختگاه سد سیمراه، اکثر مقاطع نفوذناپذیر تا نفوذپذیری خیلی کم بوده و دسته بدون جریان بیشترین فراوانی را دارد.

فهرست مطالب

صفحه

عنوان

فصل اول: کلیات

۲	-۱-۱- مقدمه
۳	-۲-۱- موقعیت جغرافیایی و راههای دسترسی
۵	-۳-۱- مشخصات عمومی سد
۵	-۴-۱- وضعیت آب و هوایی
۵	-۴-۱-۱- هواشناسی
۵	-۴-۱-۲- آب شناسی (هیدرولوژی).
۵	-۴-۱-۳- فیزیوگرافی رودخانه.
۷	-۴-۱-۴- وضعیت هیدرودینامیکی رودخانه
۷	-۴-۱-۵- کیفیت آب رودخانه سیمره
۸	-۴-۱-۶- رسوبگذاری مخزن
۸	-۴-۱-۷- اهداف تحقیق
۸	-۴-۱-۸- روش تحقیق

فصل دوم: تئوری مطلب

۱۱	-۱-۲- هیدروژئولوژی
۱۱	-۱-۱-۲- کارست
۱۲	-۱-۱-۱-۲- پدیده‌های کارستی
۱۳	-۱-۱-۱-۲- توسعه کارست در سازندهای مختلف
۱۴	-۱-۱-۲- شبکه پیزومتری
۱۴	-۱-۲-۱-۲- نوسانات سطح آب زیرزمینی
۱۵	-۱-۲-۱-۲- نوسانات دمای آب زیرزمینی
۱۶	-۱-۳-۱-۲- تزریق (Grouting)
۱۷	-۱-۳-۱-۲- عوامل مؤثر بر تزریق پذیری
۱۸	-۱-۴-۱-۲- ردیابی
۱۸	-۱-۵-۱-۲- روش‌های ژئوفیزیکی
۲۲	-۲-۲- هیدروژئوشیمی

۲۳	- تحلیل داده‌های هیدروژئوشیمی
۲۳	- تعیین جنس سنگ مخزن آب زیرزمینی
۲۵	- تیپ و رخساره‌های هیدروشیمیایی آب
۲۵	- تحول ترکیب شیمیایی آب زیرزمینی و چینه شناسی
۲۶	- نفوذپذیری
۲۶	- داده‌های رئوتکنیک (آزمایشات لوزن)
۲۶	- جریان آب زیرزمینی در سنگ
۲۷	- تعیین نفوذپذیری سنگ
۲۷	- آزمایش فشار آب
۴۲	- ضریب نفوذپذیری ظاهری سنگ و عدد لوزن
۴۴	- نفوذپذیری بر اساس مقادیر لوزن
۴۸	- رده بندی توده سنگ بر حسب شاخص کیفیت سنگ (RQD)
۴۸	- بررسی رابطه بین RQD و LU

فصل سوم: زمین‌شناسی

۵۱	- مقدمه
۵۱	- زمین‌شناسی ناحیه‌ای
۵۱	- زمین‌شناسی عمومی منطقه
۵۲	- زمین‌ریخت‌شناسی
۵۲	- ۱- ریخت‌شناسی نوع صخره‌ای
۵۵	- ۲- ریخت‌شناسی نوع ملايم
۵۵	- ۳- ۱- ریخت‌شناسی سنگ‌های نامقاوم
۵۵	- ۳- ۲- ریخت‌شناسی نوع پادگانه‌های آبرفتی
۵۵	- ۳- ۳- ریخت‌شناسی مسیر رودخانه سیمره
۵۸	- ۴- ۴- لغزش بزرگ سیمره
۵۸	- ۵- چینه‌شناسی محدوده مورد مطالعه
۵۸	- ۵- ۱- سازند آسماری (الیگومیوسن)
۵۹	- ۵- ۱- ۱- واحد آسماری بالایی
۶۰	- ۵- ۱- ۲- واحد آسماری میانی
۶۰	- ۵- ۳- ۱- واحد آسماری پایینی
۶۰	- ۵- ۲- سازند گچساران (میو - پلیوسن)

۳-۵-۳- سازند بختیاری (پلیو - پلیستوسن)	۶۰
۳-۴-۵- روبار	۶۱
۳-۴-۵- ۱- رسوبات آبرفتی جوان (QAL)	۶۱
۳-۴-۵- ۲- رسوبات دریاچه‌ای (QT1)	۶۱
۳-۴-۵- ۳- رسوبات واریزه‌ای و سنگریزش‌ها (Talus deposits)	۶۱
۳-۴-۵- ۴- رسوبات آبرفتی قدیمی (QT2)	۶۱
۳-۶- زمین‌ساخت عمومی منطقه	۶۱
۳-۷- زمین‌شناسی ساختمانی	۶۲
۳-۷- ۱- گسل‌های محدوده ساختگاه	۶۲

فصل چهارم: هیدروژئولوژی و هیدروژئوشیمی

۴- ۱- هیدروژئولوژی	۷۴
۴- ۱- ۱- پدیده‌های کارستی در محدوده مورد مطالعه	۷۴
۴- ۲- ۱- توسعه کارست در سازندهای محدوده ساختگاه	۷۹
۴- ۳- ۱- ۴- هیدروژئولوژی عمومی منطقه	۸۰
۴- ۴- ۱- ۴- هیدروژئولوژی کارست ساختگاه سد	۸۲
۴- ۴- ۱- ۴- ۱- شبکه پیزومتری	۸۲
۴- ۴- ۱- ۴- ۲- تعیین پایین‌ترین تراز توسعه حفرات انجالی و یا گسترش درز و شکستگی با استفاده از نقشه‌های حین ساخت تزریق در ساختگاه سد	۸۹
۴- ۴- ۱- ۴- ۳- بررسی توسعه حفرات انجالی و یا درز و شکستگی در پی سد با استفاده از نقشه‌های در حین ساخت تزریق	۹۵
۴- ۴- ۱- ۴- ۴- بررسی توسعه درز و شکستگی و یا حفرات انجالی در پی سد با توجه به مغزه‌های بدست آمده از گمانه‌های اکتشافی حفاری شده در فاز اجرا	۹۶
۴- ۴- ۱- ۴- ۵- نتایج آزمایشات ردیابی	۱۰۰
۴- ۴- ۱- ۴- ۶- توموگرافی لرزه‌ای	۱۰۶
۴- ۲- ۴- هیدروژئوشیمی	۱۱۴
۴- ۱- ۲- ۴- نقاط نمونه برداری جناح چپ	۱۱۸
۴- ۱- ۱- ۲- ۴- ۱- گمانه ردیابی	۱۱۸
۴- ۱- ۲- ۴- ۲- ۱- ۲- ۴- ۲- گمانه SPL9	۱۲۰
۴- ۱- ۲- ۴- ۳- ۱- ۲- ۴- ۳- چشمeh خروجی تونل آببر نیروگاه	۱۲۲
۴- ۱- ۲- ۴- ۴- ۱- ۲- ۴- ۴- چشمeh SP30	۱۲۴

۱۲۴	SP22-۴-۲-۱-۵-چشمه
۱۲۷	-۴-۲-۲-۲-نقطه نمونه برداری جناح راست
۱۲۷	۴-۲-۲-۱-گمانه TTH2
۱۲۹	۴-۲-۲-۲-چشمه SPD2
۱۳۰	-۴-۲-۲-۳-پی سد
۱۳۰	-۴-۲-۲-۱-گمانه آرتین
۱۳۳	-۴-۲-۴-آب رودخانه در محور سد
۱۳۵	-۴-۲-۲-۵-فرآیندهای ژئوشیمیایی منابع آب
۱۳۵	-۴-۲-۲-۱-رابطه بین EC و TDS
۱۳۵	-۴-۲-۲-۲-نمودارهای ترکیبی

فصل پنجم: نفوذپذیری

۱۴۶	-۵-نفوذپذیری ساختگاه سد سیمره
۱۴۶	-۵-۱-نفوذپذیری در قسمتهای مختلف ساختگاه
۱۴۸	-۵-۱-۱-جناح چپ
۱۵۲	-۵-۲-بستر
۱۵۴	-۵-۳-جناح راست
۱۵۶	-۵-۴-مجموعه ساختگاه
۱۶۰	-۵-۲-بررسی تغییرات نفوذپذیری نسبت به عمق
۱۶۰	-۵-۳-رد بندی توده سنگ بر حسب شاخص کیفیت سنگ (RQD)
۱۶۷	-۵-۴-بررسی رابطه بین RQD و LU
۱۶۸	-۵-۱-۴-جناح چپ
۱۶۸	-۵-۲-۴-جناح راست
۱۷۱	-۵-۳-۴-بستر
۱۷۱	-۵-۴-۴-مجموعه کل ساختگاه
۱۷۳	-۵-۵-بررسی رابطه بین میزان خورند آب و دوغاب در ترزیقات آزمایشی در ساختگاه سد سیمره

فصل ششم: نتیجه‌گیری و پیشنهادات

۱۸۱	-۶-۱-نتیجه‌گیری
۱۸۳	-۶-۲-پیشنهادات
۱۸۵	منابع

فهرست جداول

عنوان

صفحه

فصل اول: کلیات

جدول ۱-۱-دبی رودخانه سیمراه در محل سد سیمراه	۷
جدول ۱-۲-نتایج مطالعات فراوانی سیلاب در محل سد سیمراه	۷

فصل دوم: تئوری مطلب

جدول ۲-۱-رابطه بین نسبت معرف و جنس سنگ مخزن	۲۴
جدول ۲-۲-دقت و حساسیت اعداد لوزن	۳۶
جدول ۲-۳-توصیف کیفی نفوذپذیری بر اساس عدد لوزن در برخی کشورها	۳۶
جدول ۲-۴-معیار نفوذناپذیر سازی ارائه شده توسط نویسندها مختلف	۴۵
جدول ۲-۵-طبقه بندی مقاومت توده سنگ بر حسب RQD	۴۸

فصل چهارم: هیدروژئولوژی و هیدروژئوشیمی

جدول ۴-۱-تراز سطح آب زیرزمینی در گمانه های ساختگاه سد در سال	۸۵
جدول ۴-۲-دما آب اندازه گیری شده در گمانه های ساختگاه سد در سال	۸۸
جدول ۴-۳-مختصات گمانه های توموگرافی گالری تزریق GR3	۱۰۷
جدول ۴-۴-مختصات نگاشتهای توموگرافی	۱۰۷
جدول ۴-۵-مختصات گمانه های توموگرافی تونل آبر نیروگاه	۱۱۲
جدول ۴-۶-مختصات نگاشتهای بدست آمده جناح چپ	۱۱۲
جدول ۴-۷-نتایج سنجش شیمیایی پارامترهای مختلف منابع آبی محدوده ساختگاه سد (شهریور ۸۵)	۱۱۶
جدول ۴-۸-نتایج سنجش شیمیایی پارامترهای مختلف منابع آبی محدوده ساختگاه سد (فروردین ۸۶)	۱۱۶
جدول ۴-۹-مقدار نمایه های اشباع نمونه های آب محدوده ساختگاه سد (شهریور ۸۵)	۱۱۷
جدول ۴-۱۰-مقدار نمایه های اشباع نمونه های آب محدوده ساختگاه سد (فروردین ۸۶)	۱۱۷

فصل پنجم: نفوذپذیری

جدول ۱-۵- مختصات گمانه‌های اکتشافی	۱۴۸
جدول ۲-۵- تقسیم بندی اعداد لوزن به منظور توصیف کیفی نفوذپذیری	۱۴۹
جدول ۳-۵- درصد فراوانی مقادیر لوزن در هر کدام از قسمت‌های ساختگاه	۱۵۰
جدول ۴-۵- درصد فراوانی رفتارهای هیدروژئومکانیکی سنگ و ناپیوستگی‌ها در هر کدام از قسمت‌های ساختگاه	۱۵۰
جدول ۵-۵- درصد فراوانی مقادیر شاخص کیفیت سنگ(RQD) در قسمت‌های مختلف ساختگاه	۱۶۵
جدول ۶-۵- دسته‌ها و گروه‌های بوجود آمده از تلفیق جداول ۳-۵ و ۵-۵	۱۶۹
جدول ۷-۵- درصد فراوانی گروه‌های ۲۵ گانه در هر کدام از قسمت‌های ساختگاه	۱۷۰
جدول ۸-۵- مقادیر لوزن، رفتار هیدروژئومکانیکی و جذب سیمان به دست آمده در هر کدام از گمانه‌های تزریق آزمایشی پانل اول	۱۷۶
جدول ۹-۵- مقادیر لوزن، رفتار هیدروژئومکانیکی و جذب سیمان به دست آمده در هر کدام از گمانه‌های تزریق آزمایشی پانل دوم	۱۷۷
جدول ۱۰-۵- مقادیر لوزن، رفتار هیدروژئومکانیکی و جذب سیمان به دست آمده در هر کدام از گمانه‌های تزریق آزمایشی پانل سوم	۱۷۹

فهرست اشکال

صفحه

عنوان

فصل اول: کلیات

۴ شکل ۱-۱- موقعیت جغرافیایی ساختگاه سد و نیروگاه سیمراه
۶ شکل ۱-۲- وضعیت شماتیک رودخانه سیمراه

فصل دوم: تئوری مطلب

۲۰ شکل ۲-۱- شمایی از انجام عملیات لرزه‌ای درون چاهی سطح به عمق (Down-hole)
۲۱ شکل ۲-۲- شمایی انجام عملیات لرزه‌ای توموگرافی بین چاهی
۳۰ شکل ۲-۳- شمای کلی و تجهیزات مورد نیاز برای آزمایش فشار آب (لوژن)
۳۱ شکل ۴-۲- تأثیر تغییر طول قطعه مورد آزمایش نفوذپذیری در تعیین محل دقیق مناطق با نفوذپذیری زیاد
۳۳ شکل ۵-۲- یک راهنمای کلی برای فشار آزمایش لوژن و تزریق شکل ۶-۲- فشار موثر در مقطع آزمایش
۳۴ شکل ۶-۲- فشار موثر در مقطع آزمایش
۳۹ شکل ۷-۲- انواع دیاگرام‌های P-Q
۴۰ شکل ۸-۲- تقسیم بندی دیاگرام‌های P-Q بر اساس شرایط هیدروژئومکانیکی
۴۳ شکل ۹-۲- روش هولزبی برای انتخاب عدد لوژن و نوع رفتار هیدروژئومکانیکی سنگ
۴۶ شکل ۱۰-۲- معیار نفوذناپذیرسازی بر اساس نتایج آزمایش فشار آب
۴۷ شکل ۱۱-۲- معیار نفوذناپذیرسازی بر اساس پیشنهاد هولزبی

فصل سوم: زمین‌شناسی

۵۳ شکل ۱-۳- دره محل ساختگاه سد (نگاه به سمت جنوب)
۵۴ شکل ۲-۳- دره محل ساختگاه سد (نگاه به سمت شمال)
۵۴ شکل ۳-۳- نمایی از دره سنگی و دره محل
۵۵ شکل ۴-۳- رخمنون سازنده‌ای با مقاومت کمتر (تپه ماهورها و پادگانه‌های آبرفتی)
۵۶ شکل ۵-۳- عکس ماهواره‌ای منطقه (ریخت شناسی رودخانه سیمراه)
۵۶ شکل ۶-۳- ریخت شناسی رودخانه سیمراه در فصل تر (فروردین ۸۶)

۵۹	شکل ۳-۷-۳- نقشه زمین‌شناسی محدوده مورد مطالعه
۵۹	شکل ۳-۸- ساختار استیلویتی مشاهده شده در آهک‌های مارنی.....
۵۹	شکل ۳-۹- حفرات ناشی از انحلال پوسته‌های فسیل.....
۶۳	شکل ۳-۱۰- روند کلی طاقدیس‌های منطقه.....
۶۴	شکل ۳-۱۱- گسل‌های امتدادی محدوده مورد مطالعه.....
۶۵	شکل ۳-۱۲- رخنمون گسل‌های F1 و F2 در جناح چپ.....
۶۵	شکل ۳-۱۳- رخنمون گسل‌های F12 و F13 در جناح چپ.....
۶۶	شکل ۳-۱۴- زون برشی گسل F5.....
۶۷	شکل ۳-۱۵- بازشدگی و زون برشی ناشی از گسل F6 در گالری تزریق GR3.....
۶۷	شکل ۳-۱۶- رخنمون گسل F6 در جناح راست.....
۶۸	شکل ۳-۱۷- گسل‌های F1, F9 در جناح راست.....
۶۸	شکل ۳-۱۸- گوه ایجاد شده ناشی از تقاطع گسل‌های F1, F3.....
۶۹	شکل ۳-۱۹- ریزش حجم عظیم توهد سنگ در زیر تراز ۷۷۰، جناح چپ.....
۷۰	شکل ۳-۲۰- درزه‌های ایجاد شده در جناح راست
۷۱	شکل ۳-۲۱- درزه پرشده با کلسیت ثانویه.....
۷۱	شکل ۳-۲۲- درزه‌های پرشده با رس.....
۷۱	شکل ۳-۲۳- آغشتگی سطح درزه توسط اکسید آهن.....
۷۲	شکل ۳-۲۴- نمودار گل سرخی درزه‌های برداشت شده از ساختگاه سد سیمراه

فصل چهارم: هیدرولوژی و هیدرولوژی شیمی

شکل ۱-۴-۱- رسوب مجدد کلسیت ناشی از فرایند انحلال فشاری در Vug	۷۵
شکل ۲-۴- حفرات انحلالی مشاهده شده در ساختگاه سد	۷۶
شکل ۳-۴- لایه بندی شبیدار مواد نهشته شده در داخل حفره کارستی پی سد	۷۶
شکل ۴-۴- آبفروچاله‌های مشاهده شده در مخزن سد	۷۷
شکل ۴-۵- پناهگاه سنگی در واحد آهکی آسماری	۷۸
شکل ۴-۶- نحوه تشکیل شماتیک پناهگاه‌های سنگی	۷۸
شکل ۴-۷- مدل شماتیک حرکت آب از طاقدیس وینهار به طاقدیس راوندی	۸۱
شکل ۴-۸- موقعیت گمانه‌های فعال ساختگاه سد	۸۳
شکل ۴-۹- نمودار تغییرات سطح آب زیرزمینی در گمانه‌ها	۸۶
شکل ۴-۱۰- نمودار تغییرات دمای آب زیرزمینی در گمانه‌ها	۸۷
شکل ۱۱-۴- تغییرات سطح اساس فرسایش	۹۰

۹۱	شکل ۱۲-۴- جانمایی گالریهای تزرق ساختگاه سد سیمره
۹۲	شکل ۱۳-۴ - پلان گالریهای تزریق ساختگاه سد سیمره
۹۳	شکل ۱۴-۴ - نمودار ترازهای مقاطع خورند بالای دوغاب جناح راست
۹۴	شکل ۱۵-۴ - نمودار ترازهای مقاطع خورند بالای دوغاب جناح چپ
۹۴	شکل ۱۶-۴ - نمودار ترازهای مقاطع خورند بالای دوغاب کل ساختگاه
۹۷	شکل ۱۷-۴ - محدوده های با خورند سیمان بالا در ساختگاه سد
۹۸	شکل ۱۸-۴ - حفره مشاهده شده در پی سد.
۹۸	شکل ۱۹-۴ - موقعیت گمانه های اکتشافی پی سد
۹۹	شکل ۲۰-۴ - شسته شدن معزه حفاری در گمانه EX2
۹۹	شکل ۲۱-۴- گل آلد بودن آب برگشتی حفاری گمانه های تزریق تحکیمی پی سد
۱۰۱	شکل ۲۲-۴- موقعیت گمانه های مورد استفاده در آزمایش ردیابی رنگی
۱۰۳	شکل ۲۳-۴ - مدل شماتیک حرکت آب در سازند گچساران
۱۰۶	شکل ۲۴-۴- موقعیت گمانه تزریق (ردیابی تیر ۸۵ جناح چپ) و نقاط نمونه برداری
۱۰۸	شکل ۲۵-۴ - جانمایی گمانه های توموگرافی جناح راست.
۱۱۰	شکل ۲۶-۴- وضعیت مقاطع با نفوذ پذیری بالا در گمانه های توموگرافی جناح راست
۱۱۱	شکل ۲۷-۴- مقطع هم سرعت بین گالریهای GR1 و GR3
۱۱۳	شکل ۲۸-۴- جانمایی گمانه های توموگرافی جناح چپ
۱۱۴	شکل ۲۹-۴- مقطع هم سرعت بین گمانه های TTH6 و TTH9
۱۱۵	شکل ۳۰-۴- موقعیت نقاط نمونه برداری در ساختگاه سد
۱۱۹	شکل ۳۱-۴- موقعیت گمانه ردیابی در جناح چپ
۱۱۹	شکل ۳۲-۴ - نمودار پایپر آب گمانه ردیابی
۱۲۱	شکل ۳۳-۴- موقعیت گمانه SPL9 در تونل آبر نیروگاه
۱۲۱	شکل ۳۴-۴ - نمودار پایپر آب گمانه SPL9
۱۲۳	شکل ۳۵-۴- چشمہ خروجی تونل آبر نیروگاه
۱۲۳	شکل ۳۶-۴- نمودار پایپر آب چشمہ خروجی تونل آبر نیروگاه
۱۲۵	شکل ۳۷-۴- موقعیت مظهر چشمہ SP30 در جناح چپ
۱۲۵	شکل ۳۸-۴- نمودار پایپر آب چشمہ SP30
۱۲۶	شکل ۳۹-۴- موقعیت مظهر چشمہ SP22 در جناح چپ
۱۲۶	شکل ۴۰-۴- نمودار پایپر آب چشمہ SP22
۱۲۸	شکل ۴۱-۴- موقعیت گمانه TTH2 در گالری تزریق TTH2
۱۲۹	شکل ۴۲-۴ - نمودار پایپر آب گمانه TTH2
۱۳۰	شکل ۴۳-۴- موقعیت مظهر چشمہ SPD2 در جناح راست

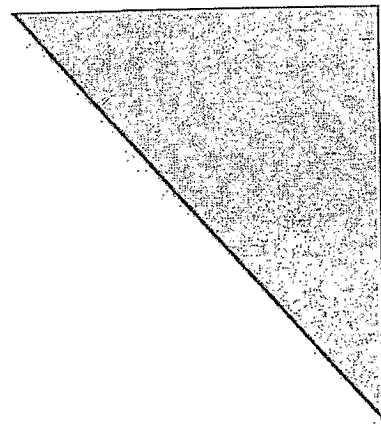
..... ۱۳۰	شکل ۴-۴- نمودار پایپر آب چشمی SPD2
..... ۱۳۲	شکل ۴-۵- موقعیت گمانه آرتزین گود پی سد
..... ۱۳۲	شکل ۴-۶- نمودار پایپر آب گمانه آرتزین پی سد
..... ۱۳۴	شکل ۴-۷- موقعیت محل نمونه برداری از آب رودخانه
..... ۱۳۴	شکل ۴-۸- نمودار پایپر آب رودخانه
..... ۱۳۴	شکل ۴-۹- عوامل کنترل کننده شیمی آب رودخانه
..... ۱۳۵	شکل ۴-۱۰- نمودار هدایت الکتریکی با کل جامدات محلول
..... ۱۳۷	شکل ۴-۱۱- نمودار ترکیبی کل مواد جامد محلول آب در مقابل متشکله های آب زیرزمینی ساختگاه سد
..... ۱۳۸	شکل ۴-۱۲- نمودار دو متغیره کلسیم در مقابل سولفات نمونه های ساختگاه سد
..... ۱۳۹	شکل ۴-۱۳- نمودار نمایش دهنده فرایندهای تبادل کاتیونی نمونه های ساختگاه سد
..... ۱۴۰	شکل ۴-۱۴- نمودارهای نمایه اشباع کلسیت در مقابل نمایه اشباع دولومیت
..... ۱۴۲	شکل ۴-۱۵- نمودارهای استیف نقاط نمونه برداری ساختگاه سد (شهریور ۸۵)
..... ۱۴۳	شکل ۴-۱۶- نمودار پایپر نقاط نمونه برداری ساختگاه سد
..... ۱۴۳	شکل ۴-۱۷- نمودار دور ن نقاط نمونه برداری ساختگاه سد
..... ۱۴۴ شکل ۴-۱۸- رابطه بین Na+K و EC

فصل پنجم: نفوذپذیری

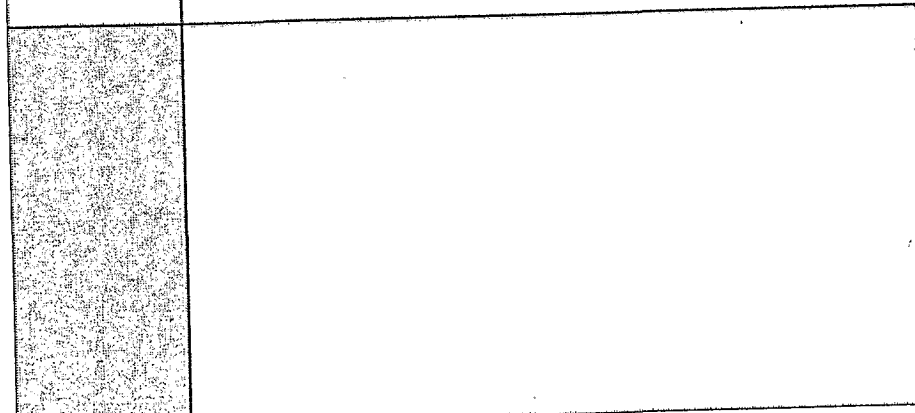
..... ۱۴۷	شکل ۵-۱- موقعیت گمانه های اکتشافی فاز ۱ و ۲ مطالعاتی ساختگاه سد سیمره
..... ۱۴۹	شکل ۵-۲- تقسیم بندی ساختگاه سد جهت بررسی نفوذپذیری
..... ۱۵۱	شکل ۵-۳- نمودار درصد فراوانی مقادیر لوزن در جناح چپ
..... ۱۵۱	شکل ۵-۴- مناطق خردشده گمانه TTH7 (عمق ۱۵ تا ۲۰ متری)
..... ۱۵۲	شکل ۵-۵- نمودار درصد فراوانی رفتارهای هیدروژئومکانیکی جناح چپ
..... ۱۵۳	شکل ۵-۶- درصد فراوانی مقادیر لوزن در بستر
..... ۱۵۳ شکل ۵-۷- مقاطع با خردشده زیاد و Core Wash گمانه EX4
..... ۱۵۴	شکل ۵-۸- درصد فراوانی رفتارهای هیدروژئومکانیکی در بستر
..... ۱۵۴ شکل ۵-۹- سنگ بکر و یا با پرشده زی (گمانه EX5)
..... ۱۵۵	شکل ۵-۱۰- درصد فراوانی مقادیر لوزن در جناح راست
..... ۱۵۶	شکل ۵-۱۱- درصد فراوانی رفتارهای هیدروژئومکانیکی در جناح راست
..... ۱۵۸ شکل ۵-۱۲- نمودار درصد فراوانی مقادیر لوزن در قسمتهای مختلف ساختگاه

..... شکل ۱۳-۵ - نمودار درصد فراوانی رفتارهای هیدروژئومکانیکی در قسمت‌های مختلف ساختگاه.....	۱۵۸
..... شکل ۱۴-۵ - نمودار درصد فراوانی مقادیر لوزن در کل ساختگاه.....	۱۵۹
..... شکل ۱۵-۵ - نمودار درصد فراوانی رفتارهای هیدروژئومکانیکی در کل ساختگاه.....	۱۵۹
..... شکل ۱۶-۵ - موقعیت گمانه‌های اکتشافی در محور سد و نمودارهای میله‌ای لوزن در برابر RQD.....	۱۶۱
..... شکل ۱۷-۵ - موقعیت گمانه‌های اکتشافی در بستر رودخانه و نمودارهای میله‌ای لوزن در برابر RQD.....	۱۶۲
..... شکل ۱۸-۵ - موقعیت گمانه‌های اکتشافی در جناح چپ و نمودارهای میله‌ای لوزن در برابر RQD.....	۱۶۳
..... شکل ۱۹-۵ - موقعیت گمانه‌های اکتشافی در جناح راست و نمودارهای میله‌ای لوزن در برابر RQD.....	۱۶۴
..... شکل ۲۰-۵ - نمودار تغییرات شاخص کیفیت سنگ در کل ساختگاه.....	۱۶۵
..... شکل ۲۱-۵ - نمودار درصد شاخص کیفیت سنگ در قسمت‌های مختلف ساختگاه.....	۱۶۶
..... شکل ۲۲-۵ - نمودار تغییرات شاخص کیفیت سنگ در جناح چپ.....	۱۶۶
..... شکل ۲۳-۵ - نمودار تغییرات شاخص کیفیت سنگ در جناح راست.....	۱۶۷
..... شکل ۲۴-۵ - نمودار تغییرات شاخص کیفیت سنگ در بستر.....	۱۶۷
..... شکل ۲۵-۵ - نمودار درصد فراوانی هر کدام از گروه‌های ۲۵ گانه جناح چپ.....	۱۷۰
..... شکل ۲۶-۵ - نمودار درصد فراوانی گروه‌های ۲۵ گانه در جناح راست.....	۱۷۰
..... شکل ۲۷-۵ - نمودار درصد فراوانی هر کدام از گروه‌های ۲۵ گانه بستر.....	۱۷۱
..... شکل ۲۸-۵ - درصد فراوانی گروه‌های ۲۵ گانه کل ساختگاه.....	۱۷۲

فصل ۱



کلیات



۱-۱- مقدمه

سدها از جمله مهمترین سازه‌های هیدرولیکی هستند که نقش حیاتی در مهار و استفاده بهینه از آب در امور آبیاری و به عنوان منبع انرژی دارند. با توجه به ارتفاع زیاد سد و فشار هیدروستاتیک حاصله، لازم است به مسأله تراوش آب از سدها توجه ویژه نمود و نسبت به کنترل آن تمهیداتی اندیشید. موفقیت یک طرح سدسازی فقط منحصر به اجرای طرح نمی‌باشد بلکه به زمان بهره‌برداری آن نیز وابسته است. یکی از مسائل مهم و قابل توجهی که بیشتر سدها با آن مواجه می‌باشند مسئله فرار آب از پی و تکیه گاه است.

مسئله فرار آب تابعی از عوامل مختلفی می‌باشد که در این رابطه می‌توان به جنس مصالح تشکیل دهنده زمین، شرایط و ساختارهای زمین‌شناسی منطقه، خصوصیات هیدرولیکی و هیدروژئولوژیکی آب زیرزمینی و خصوصیات و ابعاد هندسی سد نام برد. معمولاً با ساخت یک سد تغییراتی در شرایط منطقه بوجود می‌آید که مهم ترین آنها تغییر در خصوصیات هیدروژئولوژیکی آب زیرزمینی ساختگاه سد است. این امر سبب فرار و نشت آب از بالاست به سمت پائین دست سد می‌شود.

مطالعاتی که بر روی شکست سد بیش از ۳۰۰ سد در جهان انجام شده است، نشان داد که حدود ۲۵ درصد علت شکست‌ها بر اثر مشکلات رئوتکنیکی ایجاد شده نظیر تراوش، رگاب و فشار منفذی بالا به دلیل عدم کفایت اطلاعات دقیق در مورد خصوصیات هیدرولیکی رگه‌های موجود در تشکیلات زمین‌شناسی در ساختگاه سد می‌باشد (Coduto, 2002). تراوش از پی سدها یک مسأله مهم، در طراحی و ساخت آنها است، بخصوص اینکه در اکثر مواقع یک پی کاملاً نفوذناپذیر برای طراحی و اجرای سد در دسترس نیست و بالاجبار باید سدها بر پی‌های متخلخل و یا سنگ‌های درز و شکاف‌دار و نفوذناپذیر ساخته شوند. مسأله تراوش از پی سدها از چند نظر حائز اهمیت و قابل توجه است:

۱- مقدار تراوش: تراوش از پی سدها می‌تواند باعث هدر رفتن مقادیر قابل توجهی از آب ذخیره شده در پشت سد در طول زمان شود.

۲- نیروهای ناشی از تراوش: به دنبال آبگیری سد و نفوذ آب از پی، بر اثر اختلاف بار آبی تشکیل شده در زیر سد و سازه‌های جانبی، فشارهای برکنش (Uplift pressure) ایجاد می‌شود.

۳- مشکلات فنی ناشی از تراوش: گرادیان هیدرولیکی تشکیل شده و نیروهای برکنش ایجاد شده می‌تواند سبب بروز پدیده‌هایی مانند قلوه کنی (Blow up) و یا خرابی به وسیله فرسایش زیر سطحی (Failure by subsurface erosion) و در نتیجه تخریب پی و به دنبال آن به خطر افتادن سازه‌های مستقر بر آن شود.